

플라스틱 배관의 접합 조건에 관한 연구

이철구[†], 이우림^{*}, 박철양⁺⁺

(논문접수일 2011. 08. 25, 수정일 2011. 10. 05, 심사완료일 2011. 10. 07)

A Study of Welding Conditions for Plastic Piping

C.K. Lee[†], W.R. Lee^{*}, C.Y. Park⁺⁺

Abstract

The current establishment of city gas piping polyethylene (PE) tube used as bonding state or part of the health or safety of fusion is very important. A part of these fusion methods to determine the soundness of the short-term trials and long-term tests can be largely classified. Typical tests include short-term strength, tensile strength, impact strength, compressive strength, resiliency and compression. Polyethylene (PE) pipes installed in the domestic terms of overall penetration rate of 45% has been used. However, polyethylene (PE) pipes have reliability problems, and these occurs mostly in part by defective welding. Therefore, the test is necessary for safety. Non-destructive methods (ultrasonic testing) are difficult to be used. Therefore, Polypropylene copolymer (PP-C), polypropylene homopolymer (PP-H), and polyethylene (PE) pipe are used. Fusion of thses materilas is necessary in these field however, its technical, and basic research has not been studied well. In this research, short-term strength of welding parts, its tensile strength, hardness, fatigue, and microstructure have been analyzed to find the optimum process conditions to improve mechanical properties.

Key Words : Poly propylene(폴리 프로필렌), Short-term trials(단기수압시험), Fatigue life(피로수명), Tensile strength(인장강도), Hardness(경도), Fusion temperature(융착온도)

1. 서 론

현재까지 가스 배관용 플라스틱 관련 산업계에서는 내·외장 부품으로 주로 석유화학 원료로부터 제조되는 고분자수지를 사용한 것이 일반적이다. 국내에서 2000년대까지만 해도 자동차 내·외장 재료에는 금속이 주종을 이루었으나, 금속배관의 경우 부식 및 시공상에 복잡성으로 많은 문제점이 도출되고 있다⁽¹⁾. 그러나 폴리에틸렌(PE: Polyethylene), 폴리프로필렌(PP:

Polypropylene:), 폴리염화비닐(PVDF: Polyvinylidene Fluoride) 등을 사용하는 사례가 소개되면서 국내에서도 이를 이용한 엔지니어링 플라스틱의 사용을 검토하게 되었다. 또한 환경적 요인이 대두되면면서 액화천연가스(LNG: Liquefied natural gas)가 청정에너지로서 각광을 받아 국내에서는 1986년 인도네시아 LNG가 처음 수입되었고 그 이후 2001년에는 천연가스 차량이 국내에서 200대 가량의 버스에 시범적으로 운용되고 있으며, 천연가스 수요는 매년 급속한 증가추세이다⁽²⁾. 엔지

[†] 서울과학기술대학교 기계공학과

^{*} 교신저자, 서울과학대학교 NID 융합기술 대학원 (wooramlee@snut.ac.kr)
주소: 139-743 서울시 노원구 공릉동 172

⁺⁺ 서울과학기술대학교 산업대학원

니어링 플라스틱의 접착에는 접착제를 사용하는 방법도 있으나 이는 충격이나 진동, 열, 습기에 의해 분리되므로 현재 자동차 내장재로써 사용되고 있는 폴리프로필렌의 접합상태(용접부 결합), 즉 용착부의 건전성이나 안전성을 확보하는 것이 대단히 중요하다. 이러한 용착부의 건전성을 파악하는 방법으로는 단기시험과 장기시험으로 크게 분류할 수 있다. 단기강도의 대표적인 시험항목으로는 인장강도, 충격강도, 내압강도, 압축복원성 등이 있으며, 장기강도는 크리프강도, 내환경 응력균열성, 내기후성, 화학적 안전성 등이 대표적이다⁽³⁾. 또한 T.H Striplin은 맞대기 용착부에 관한 검사 기법으로 초음파를 이용한 평가 방법을 연구한 바 있고⁽⁴⁾, D.SRover는 폴리프로필렌 수지의 확산 거동에 대한 시간과 온도의 특성을 규명하고 이것으로부터 거대 분자 내부 확산에 의한 용착 개념을 기초로한 용착 이론을 제시하였으며⁽⁵⁾, A.Hillersborg는 가스용 PP재 열용착의 육안 검사 기준에 관한 연구를 하였고, M.Wolter는 PP관의 맞대기 용착에 관한 연구를 실시하였다. 이와 같이 PP관에 많은 연구가 진행되어 왔으나 국내에서는 이 분야에 대한 학문적, 기술적, 기초 연구가 부족한 실정이다. 반면 접착제는 크게 비전도성 접착제, 전도성 접착제로 나눌 수 있으며, 전도성 접착제는 다시, 이방성 전도성 접착제, 등방성 전도성 접착제로 나눌 수 있다. 비전도성 접착제의 접속에서는 수분에 의한 고분자 상의 부피 변화 및 고분자와 침 또는 기판 간의 계면 박리, 범프와 패드 사이의 벌어짐 및 크래킹 등이 일어나 접합 불량이 발생된다. 이러한 문제점은 비전도성 무기 입자의 첨가를 통하여 열팽창 계수를 낮춤으로써 접착 안정성을 얻을 수 있다. 최근 접착제의 소재로 사용되고 있는 에폭시 및 기타 수지는 내열성, 내 부식성, 접착력, 전기절연성 등의 물성이 우수하여 전기·전자·기계 산업분야에 많이 사용되고 있는 고분자 재료이다. 그러나 경화도가 높아지는 경우, 쉽게 부서지는 경향이 나타나며 열안정성 및 치수 안정성 등에서 접착 소재로서 아직 까지도 해결해야 하는 단점이 있기 때문에 엔지니어링 플라스틱의 접착에서는 접착제의 사용 보다는 용착이 확실한 접합 방법이다⁽⁶⁾. 따라서 본 실험은 단기강도의 일부분으로써 다양한 조건에서 용착을 실시한 후 인장, 경도, 피로, 외관형상 등을 실시하여 용착 시 최적의 압력과 온도를 규명하고자 하였다. 하지만 PP관은 신뢰성에 대한 문제가 있고, 일반적으로 결함이 용착부에서 주로 발생하여, 이 부분의 안전성에 대한 검사가 필요할 실정이다. 아울러, 이 용착부위는 비파괴적인 방법(초음파 탐상검사)에 의해서는 완벽한 안전성을 파악하는데 어려움이 있다⁽⁷⁾. 따라서, PP 관을 이용하여 용착부가 적정한 강도를 유지하고 있는지 확인하고, 현장에서 필요한 용착 공정에 대한 기본 데이터를 제시하며, 용착의 신뢰성을 입증 할 필요가 있다. 본 연구의 목적은 다양한 조건, 즉 가열 온도, 압력, 용융시간, 가열 유지 시간, 압착 시간에 변화를 주면서, 가스 배관으로 주로 사용하는 PP관을 이용하여, 용착을 하여, 비드의 형상,

폭, 높이, 두께 등 육안 검사로 접합상태를 파악하였고, 적당한 길이로 절단 연마한 후 용착 변수들을 달리하면서 용착하여 시험편을 제작, 인장 강도 시험을 실시하고 그 결과를 바탕으로 국내외 관련규격과 비교하여 최적의 용착 변수를 파악하였다.

2. 열용착(heat anastomosis) 공정

열용착 공정은 열(heater)을 사용하여 열판으로부터 용착하고자 하는 부위를 열전도에 의하여 용융시킨 후 히터를 제거하고 압착압력을 가하여 접합하는 방법이다⁽⁸⁾. 용착에는 맞대기(butt), 소켓(socket), 새들(saddle)용착이 있다. 맞대기(sut)용착은 75A 이상의 관 및 이음관 용착에 적용되며, 이 용착을 하기 위한 준비작업으로는 규격확인 → 손상확인 → 면취 → 열판의 온도 → 관의 예열 → 청결 → 용착기 상태점검 → 진원도 확인 → 관의 정렬 → 오염방지 등이 있다. 여기서 특히 주의해야 할 사항은 관 및 이음이 두께의 10% 이상 손상되었을 경우 사용하지 말고, 또한 관 표면에 산화피막 및 자외선에 의해 노출된 영역은 필히 제거해야 한다. 또한 면취 단면의 틈새는 1mm 이상 되지 않도록 해야 하며 파이프의 어긋남은 파이프 두께의 10% 미만이어야 한다⁽⁹⁾.

위 사항은 용착을 하기 위해 꼭 필요한 주의사항이다. 용착의 공정단계는 다음과 같다.

- ① 가압용융(heating soak) : 관 또는 합쳐지는 접합이음관을 히터에 접촉시켜 가압하면서 용융한다. 이것은 정상적으로 열판으로부터 용융부위로 열전도가 이루어져 고르게 용융시키기 위하여 열판에 용융시키고자 하는 면을 밀착시킴이 그 목적이다. 방법으로는 용융부위 단면적당 490kPa의 압력으로 비드 전 둘레에 걸쳐 압력을 가해야 한다.
- ② 가열유지(pressure built-up) : 관 또는 합쳐지는 접합 이음관을 히터에 가볍게 밀착한 상태로 가열하여 용착을 하고자 하는 부위를 실질적으로 용융시키는 공정으로 용융부피에 비례하여 가열유지 시간을 충분히 지켜 관축 방향에 열을 충분히 전달시킨다.
- ③ 히터제거(plate removal) : 용융부위를 용착시키기 위하여 삽입된 열판을 용융부위로부터 신속하게 제거함을 목적으로 하며, 방법으로는 용착기 클램프를 열리게 하여 용융면이 열판으로부터 이탈되게 한 상태로 히터를 제거한다.
- ④ 압착(heat melting) : 관 또는 합쳐지는 접합이음관의 용융면끼리 압착하는 것으로써 히터제거 후 용융부위가 냉각되기 전에 신속하게 압력을 가하여 일정시간 용융부위가 밀착 · 접합하도록 단면적당 147kPa의 압력을 유지시킨다.
- ⑤ 냉각(Cooling) : 접합부를 냉각시키기 위한 목적으로 이 부위를 일정시간 이상 가만히 놓고 냉각한다⁽¹⁰⁾.

3. 실험장치 및 실험방법

3.1 실험장치

실험장치는 열과 압력 모두 제어 가능한 열융착기를 사용하였다. Fig. 1은 열융착에 대한 모식도이다. X축으로 압력을 가해주고, Y 축에서 접합부를 용융시키는 구조이다.

3.2 실험조건

Table 1은 실험 변수에 따른 융착 조건이다. 가열온도는 210~250°C 까지 10°C 씩 증가시켜 가며 융착 하였다. 이에 따른 가압력은 50 ~ 150kg/cm² 까지 50kg/cm² 씩 증가 시켜가며 실험 하였다. 융착 시간은 10sec, 온도 유지 시간은 60sec 으로 고정하여 실험하였다.

3.3 분석방법

폴리프로필렌에 최적의 융착 조건을 만족하기 위하여 인장, 경도, 피로수명 등 3가지 분석실험을 하였다. 인장시험기는 Instron사의 5800series 로 수행되었으며, 최대 200kN의 용량을 갖는 재료 시험기이다. 시험절차는 KS B 0802에 명시된 절차를 준수하였으며 시험방식으로는 변위제어방식을 사용하였다. 이때의 시험 속도는 5.0mm/min으로 고정하였다. 경도시험은 Wolpert Wilson Instruments 사의 402MVD를 사용하였으며, 적용하중은 50gf(Hv 1)로 설정하였다. 상판 기준 하부 0.1mm 아래에서 0.3mm 간격으로 열영향을 받지 않는 모재까지 충분한 범위를 측정하였다. 피로시험은 ASTM E 466에 따라 Instron 사의 8802 모델을 사용하였으며, 응력비(stress ratio, R)는 -1이고, 적용 인장응력의 반복률은 20Hz 로 고정하였다. 시편에 가해지는 응력은 순수 인장응력 상태이며, 시험편에 적용되는 인장응력은 식 (1)과 같은 탄성보의 방정식(elastic beam equation)을 사용하였다. 여기서, c는 시험편의 최소 반

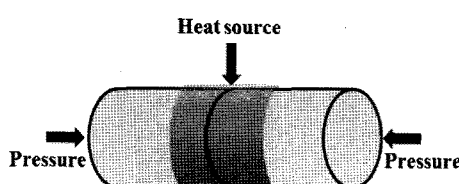


Fig. 1 Design of heat anastomosis sample

Table 1 Experimental parameters

Type	PP-C	PP-H
Temperature(°C)	210 ~ 250	
Pressure(kPa)	50 ~ 150	
Heat melting time(sec)	10	
Heating soak time(sec)		60

경, M은 인장 및 압축 모멘트, P는 적용하중, L은 모멘트 거리 그리고 I는 관성모멘트이다.

$$\sigma_b = \frac{M}{I} C = \frac{16PL}{\pi d_s^3} \quad (1)$$

4. 실험 결과 및 고찰

4.1 외관형상

(1) PP-C

Fig. 2은 각각 융착 압력 별 230°C 에서의 PP-C에 대한 외관 형상이다. 온도에 따라서 융착된 부분의 형상이 다르게 나왔다. 이는 용융온도, 가해진 압력에 따라서 형상이 다르게 나온 것으로 추정한다.

(2) PP-H

Fig. 3은 각각 융착 압력 별 230°C 에서의 PP-H에 대한 외관 형상이다. 온도에 따라서 융착된 부분의 형상이 다르게 나왔다. 이는 용융온도, 가해진 압력에 따라서 형상이 다르게 나온 것으로 추정한다.

4.2 인장시험

(1) PP-C

Fig. 4는 각 조건별 10회 씩 인장 실험한 결과에 대한 평균값을 그래프화 하였다. 210°C 를 기준점으로 융착한 경우 압력 50kPa 에서 약 5, 11, 7, 3kPa 씩 차이가 났다. 동일한 방법으로 압력 100kPa 에서는 10, 13, 10, 2kPa, 압력 150kPa 에서는 2, 8, 7, 3kPa 씩 차이가 났다. 온도 230°C 에서 플라스틱의 재결정이 많이 이루어 진 것으로 추정한다. 인장시험의 경우 온도 230°C, 압력 100kPa이 적정 조건으로 추정한다.

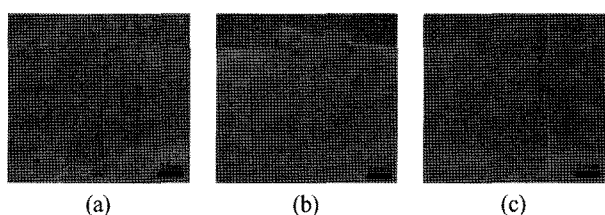


Fig. 2 Shape of PP-C (50 ~ 150kPa)

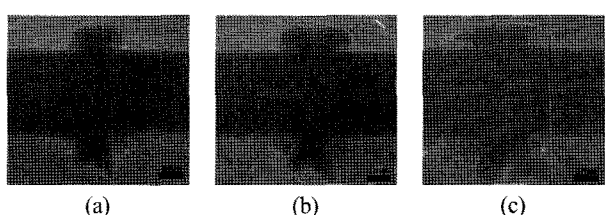


Fig. 3 Shape of PP-H (50 ~ 150kPa)

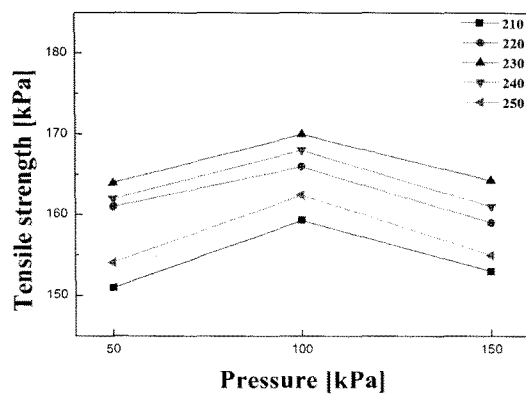


Fig. 4 Experimental results of tensile test PP-C

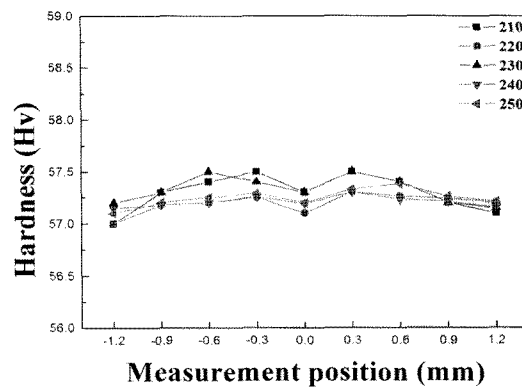


Fig. 6 Experimental results of hardness test PP-C

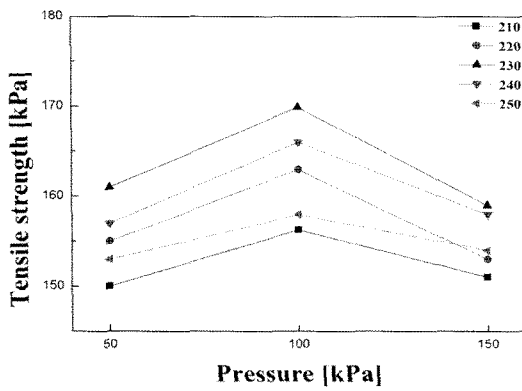


Fig. 5 Experimental results of tensile test PP-H

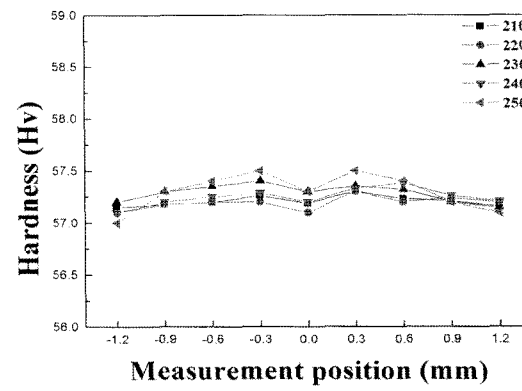


Fig. 7 Experimental results of hardness test PP-C

(2) PP-H

Fig. 5는 각 조건별 10회 씩 인장 실험한 결과에 대한 평균값을 그래프화 하였다. 210°C를 기준점으로 융착한 경우 압력 50kPa에서 약 10, 13, 11, 3kPa씩 차이가 났다. 동일한 방법으로 압력 100kPa에서는 7, 11, 9, 3kPa, 압력 150kPa에서는 6, 11, 8, 2kPa 씩 차이가 났다. 온도 230°C에서 플라스틱의 재결정이 a 많이 이루어 진 것으로 추정한다. 인장시험의 경우 온도 230°C, 압력 100kPa이 적정 조건으로 추정한다.

4.3 경도시험

(1) PP-C

Fig. 6는 압력 조건 50kPa에서의 경도 실험한 결과의 대한 값을 그래프화 하였다. 210°C(57.09Hv) 기준으로 평균 0.14, 0.22, 0.28, 0.14Hv 씩 차이가 났다. 압력 조건 100kPa에서 경도 실험한 결과 210°C(57.2Hv) 기준으로 평균 0.11, 0.08, 0.04, 0.04Hv 씩 차이가 났고, 150kPa에서 경도 실험한 결과 210°C(57.3Hv) 기준으로 평균 0.1, 0.09, 0.03, 0.01Hv 씩 차이가 났다. 이는 플라스틱 재질은 금속 재질에 비해 온도에 따른 재결정이 이루어지더라도 경도 변화는 없었다. 평균적으로 230°C에서 약간 큰 경도 변화가 있었다.

(2) PP-H

Fig. 7는 압력 조건 50kPa에서의 경도 실험한 결과의 대한 값을 그래프화 하였다. 210°C(57.2Hv) 기준으로 평균 0.02, 0.08, 0.04, 0.1Hv 씩 차이가 났다. 압력 조건 100kPa에서 실험 결과 210°C(57.2Hv) 기준으로 평균 0.06, 0.09, 0.08, 0.01Hv 씩 차이가 났고, 150kPa에서 실험한 결과 210°C(57.2Hv) 기준으로 평균 0.06, 0.09, 0.01, 0.04Hv 씩 차이가 났다. 플라스틱 재질은 금속 재질에 비해 온도에 따른 재결정이 이루어지더라도 경도에 변화는 없었다. 평균적으로 250°C에서 약간 큰 경도 변화가 있었다.

4.4 피로시험

(1) PP-C

압력 조건 50kPa에서 피로 실험한 결과 210°C 기준으로 2, 3, 1, 3, 2 개씩 파괴가 일어나지 않았다. 이에 대한 평균 차이는 210°C(70.3kPa) 기준으로 5.1, 4, 6.1, 3.2kPa 씩 증가하였다. Fig. 8는 압력 조건 100kPa 파괴된 시편의 피로한도에 대한 값을 log-log scale로 변환하여 최소 자승법에 의해 피팅(fitting)하였다. 실험한 결과 210°C 기준으로 1, 1, 3, 1, 2개씩 파괴가 일어나지 않았다. 이에 대한 평균 차이는 210°C(72.9kPa)

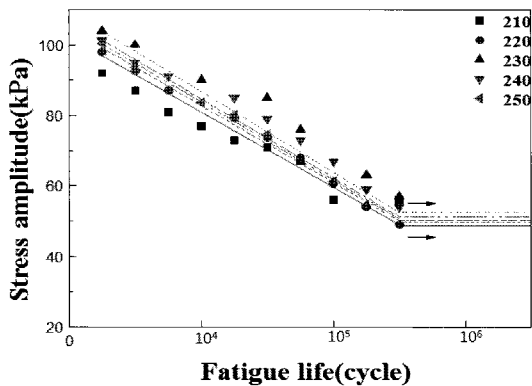


Fig. 8 S-N curve(log scale) for fatigue analysis 230°C PP-C

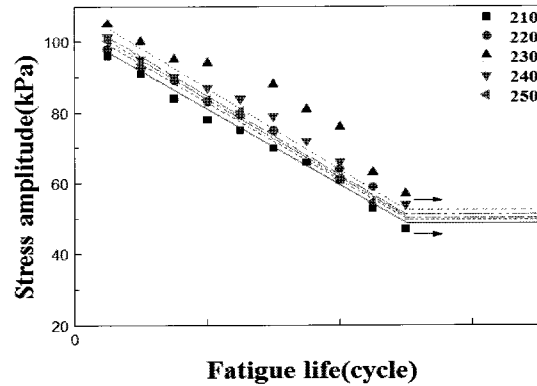


Fig. 9 S-N curve(log scale) for fatigue analysis 230°C PP-H

기준으로 1.6, 2.7, 0.4, 2.4kPa 씩 증가하였다. 압력 조건 150kPa 실험한 결과 210°C 기준으로 4, 4, 3, 4, 3개씩 파괴가 일어나지 않았다. 이에 대한 평균 차이는 210°C(71.8kPa) 기준으로 2.6, 5.2, 3.1, 2.3kPa 씩 증가하였다. 피로시험을 실시한 시험편의 균열은 모두 용착부에서 발생하여 모재 두께방향으로 형상을 유지하면서 관통된 후 진전되면서 파단 되었고, 인장시험의 결과와 거의 동일한 결과를 나타내었다. 용착부의 적정 온도의 개선으로 피로수명 증가 시킬 수 있을 것으로 여겨지며, 단순 인장응력 범위가 150kPa이하인 실제 플라스틱 용착 이음부의 피로강도는 온도 및 압력 변수에 의해 크게 향상될 것으로 기대된다.

(2) PP-H

압력 조건 50kPa에서 피로 실험한 결과 210°C 기준으로 1, 2, 1, 2, 2 개씩 파괴가 일어나지 않았다. 이에 대한 평균 차이는 210°C(72.6kPa) 기준으로 2.1, 5.3, 3.1, 1.8kPa 씩 증가하였다. Fig. 9 는 압력 조건 100kPa 실험한 결과 파괴된 시편의 피로한도에 대한 값을 log-log scale로 변환하여 최소 자승법에 의해 피팅(fitting)하였다. 210°C 기준으로 0, 2, 1, 2, 3개씩 파괴가 일어나지 않았다. 이에 대한 평균 차이는 210°C(72.7kPa) 기준으로 1.8, 5.4, 3.4, 2.6kPa 씩 증가하였다. 압력 조건 150kPa 실험한 결과 파괴된 시편의 피로한도에 대한 결과이다. 210°C 기준으로 2, 1, 2, 1, 2개씩 파괴가 일어나지 않았다. 이에 대한 평균 차이는 210°C(71.9kPa) 기준으로 2.9, 5.2, 4.3, 3.5kPa 씩 증가하였다. 피로시험을 실시한 시험편의 균열은 모두 용착부에서 발생하여 모재 두께방향으로 형상을 유지하면서 관통된 후 진전되면서 파단 되었다. 피로시험 결과 인장시험의 결과와 거의 동일한 결과를 나타내었다. 용착부의 적정 온도의 개선으로 피로수명 증가 시킬 수 있을 것으로 여겨지며, 단순 인장응력 범위가 150kPa이하인 실제 플라스틱 용착 이음부의 피로강도는 온도 및 압력 변수에 의해 크게 향상될 것으로 기대된다.

4.5 조직시험

(1) PP-C

Fig. 10는 위 실험들을 통하여 가장 적절한 조건인 100kPa 압력에서의 PP-C에 대한 미세 조직 형상이다. 배율은 X3000로 고정 하였다. 압력에 따라서 용착 된 부분의 형상이 다르게 나왔다. 모재부분에서는 열이 가해지지 않았기 때문에 미세한 기포만이 검출 되었다. 이는 재료가 가열되면서 재결정이 이루어지고, 압력의 크기에 따라 용착부가 불규칙하게 생성된 것을 확인 할 수 있다. 따라서 용융온도, 가해진 압력에 따라서 기공 및 형상이 다르게 나온 것으로 추정한다.

(2) PP-H

Fig. 11는 위 실험들을 통하여 가장 적절한 조건인 100kPa 압력에서의 PP-H에 대한 미세 조직 형상이다. 배율은 X3000로 고정 하였다. 압력에 따라서 용착 된 부분의 형상이 다르게 나왔다. 모재부분에서는 열이 가해지지 않았기 때문에 미세한 기포만이 검출 되었다. 이는 재료가 가열되면서 재결정이 이루어지고, 압력의 크기에 따라 용착부가 불규칙하게 생성된 것을 확인 할 수 있다. 따라서 용융온도, 가해진 압력에 따라서 기공 및 형상이 다르게 나온 것으로 추정한다.

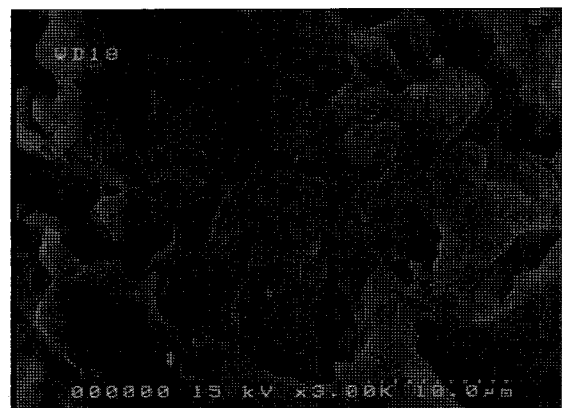


Fig. 10 SEM image of PP-C 100 kPa

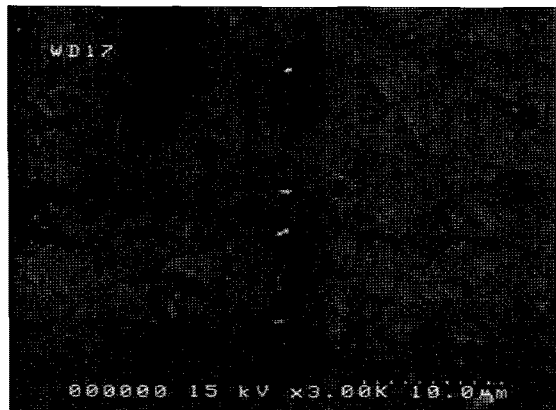


Fig. 11 SEM image of PP-H 100 kPa

5. 결 론

가스배관용 플라스틱으로 이용되는 폴리프로필렌 재료를 맞대기 용착시켜 최적화된 접합조건에서의 기계적 특성, 피로특성 등을 파악하고자 분석한 결과 다음과 같은 결론을 얻었다.

- (1) 인장강도, 경도, 피로특성, 외관형상 결과 용착 시 가열 온도 230~240°C에서 압력 100kPa 범위 내에서 기계적 성질이 향상되는 경향을 확인 할 수 있었다.
- (2) 가열시간 10sec, 압착시간 60sec을 가하면 최적의 용착 조건이 얻어지는 것을 알 수 있다.
- (3) 용착 시 가열 온도 230~240°C, 압력 100kPa, 가열시간 10sec, 압착시간 60sec 범위 내에서 기계적 성질이 개선되었음을 실험적으로 나타낸 결과라 할 수 있다.

덧붙여, 향후 플라스틱 배관의 접합 시 재료 표면 및 내부에 서의 손상을 최소화할 수 있는 개선된 공정 연구가 필요할 것으로 여겨진다.

참고문헌

- (1) Donald, L. K. and Robert, L. L., 1990, "Natural Gas Engineering Production and Storage", McGraw-Hill, New York, pp. 5~17.
- (2) Striplin, T. H., 1990, "Ultrasonic Evaluation of Polyethylene Butt Fused Joint", McElroy Manufacturing Inc., pp. 92~100.
- (3) Rovre, D. S., Gueugnaut, D., and Robert, D., 1989, "Test Methodology for the Determination of Optimum Fusion Welding Condition of Polyethylene", Journal of Applied Polymer Science, Vol. 38, No. 3, pp. 147~162.
- (4) A. Hillersborg, 1985, "Fusion Joining of PE Gas Pipes, Criteria for Visual Judging of Heat Fused PEM Pipes", Weld World Soudage Monde, Vol. 23, No. 9~10, pp. 202~207.
- (5) Parry, T. V. and Wronski, A. S., 1981, "The effect of Hydrostatic Pressure on the Tensile Properties of Pultruded CFRP," J. of Materials Science, Vol. 20, No. 2, pp. 2141~2147.
- (6) McDaniel, D. K., 1979, "The Sun, Our Future Energy Source", John Wiley & Sons, Montreal, pp. 134~157.
- (7) Kim, W. S. and Kim, D. H., 2006, "A study on the Direct Casting of Photo-polymer," Transactions of the Korean Society of Machine Tool Engineers, 15(6): pp. 127~133.
- (8) Cheong, T. H. and Ha, Y. W., 2002, "A Study on Compressor Seal for Automotive Air-conditioner using Polymer Resin," Transactions of the Korean Society of Machine Tool Engineers, 11(5): pp. 81~87.
- (9) Kim, O. S, Kim, I. S., Son, J. S., Seo, J. H. and Moon, C. J., 2007, "The Characteristics of Bonding for Thermo-plastic using Solar Energy," Transaction of KSMTE, Vol. 16, No. 2, pp. 106~111.
- (10) Son, S. W., Kim, I. S., Jung, J. W., Kim, J. S., and Na, H. H., 2009, "Control the Welding Quality for Stainless Steel Weldment", Korea Society of Machine Tool Engineers Spring Conference, pp. 285~289.
- (11) Na, G. D., Yoo, Y. T., Shin, B. H., and Shin, H. J., 2007, "A Study on the Surface Hardening of SCM4 Steel Using a Continuous Wave Nd:YAG Laser", Transaction of KSMTE, Vol. 16, No. 5, pp. 24~32.
- (12) Yoo, Y. T., Shin, H. J., and Jang, W. T., 2004, "Surface Heat Treatment of Die Material by Means of CW Nd:YAG Laser", Transaction of KSMTE, Vol. 13, No. 5, pp. 67~74.